

## ДВИЖЕНИЕ ЗАРЯДОВ В ТВЕРДОМ ДЕЙТЕРИИ

*А.Б.Трусов, Л.П.Межов-Деглин<sup>1)</sup>, А.А.Левченко*

*Институт физики твердого тела РАН  
142432 Черноголовка, Московской обл., Россия*

Поступила в редакцию 2 февраля 1996 г.

Измерена скорость движения и определены подвижность и коэффициент диффузии положительных и отрицательных зарядов (заряженных дефектов) в твердом дейтерии. Обнаружено, что вблизи температуры плавления в полях  $E < 5 \cdot 10^5$  В/см подвижность зарядов обоих знаков экспоненциально падает с понижением температуры. Коэффициент диффузии положительных зарядов  $D_+$  в несколько раз превышает коэффициент диффузии отрицательных  $D_-$ . Энергия активации диффузии составляет для приводимого образца  $\Delta_- \approx 480$  К для отрицательных зарядов и  $\Delta_+ \approx 340$  К – для положительных, что близко к известным из литературы значениям энергии активации самодиффузии молекул  $\Delta_s = 270 \div 330$  К. Естественно предположить, что диффузия положительных зарядов, как и самодиффузия молекул, контролируется их взаимодействием с вакансиями.

**PACS:** 67.80.-s

В данной работе приведены результаты измерений скорости дрейфа положительных и отрицательных зарядов (заряженных дефектов) в твердом орто-дейтерии в интервале температур  $T = 18,7 \div 15,0$  К. Измерения проводились время-пролетной методикой в диоде, состоящем из радиоактивного источника зарядов (титано-тритиевая мишень) и коллектора. Расстояние источник – коллектор составляло  $L = 0,2$  мм. Диод размещался внутри металлической ампулы, в которой выращивали кристаллы дейтерия при постоянном давлении. Заряды обоих знаков образовывались в кристалле под действием  $\beta$ -излучения в слое толщиной около 10 мкм, прилегающем к радиоактивному источнику. Знак заряда, дрейфующего сквозь кристалл от источника к коллектору, определялся полярностью приложенного к источнику электрического напряжения  $U$ .

Среднюю скорость дрейфа зарядов в поле  $E \approx U/L$  определяли по времени прихода фронта заряженных частиц на коллектор при ступенчатом включении напряжения  $U$  (время-пролетная методика). Погрешность измерений составляла  $\pm 20\%$ . Эта методика успешно применялась ранее для изучения полевых и температурных зависимостей скорости движения зарядов в твердом водороде [1,2], которые проводили в той же ячейке.

В данных экспериментах кристаллы дейтерия выращивали из жидкости при различных постоянных давлениях от 0,4 до 12 атм со скоростью  $0,5 \div 1$  мм/мин. Скорость роста образцов контролировали по изменению статического тока через диод при постоянном приложенном напряжении, а также по показаниям термометра, установленного на ампуле.

Подробные измерения проводились только на наиболее совершенных образцах, в которых захват движущихся зарядов ловушками в объеме был минимальным, а на переходных характеристиках диода (зависимостях тока от времени  $I(t)$  при ступенчатом включении напряжения  $U$ ) наблюдался только один четко выраженный максимум. В менее совершенных (блочных) образцах

<sup>1)</sup>e-mail: mezhev@issp.ac.ru

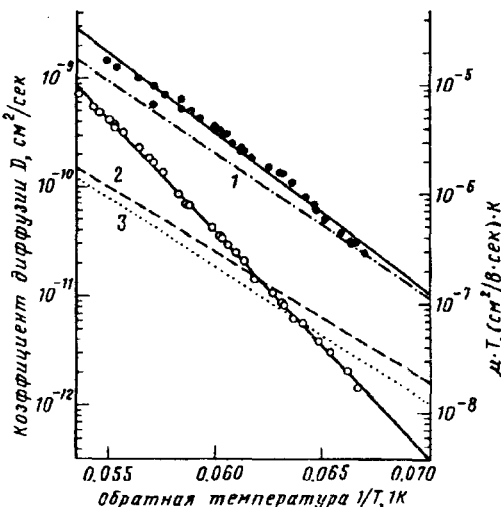
дейтерия, как и твердого водорода, на кривых  $I(t)$  можно было наблюдать два максимума, соответствующих движению заряженных дефектов в блоках разной ориентации (ГПУ кристаллы сильно анизотропны). Такие образцы плавили и заменяли новыми.

Перед набором дейтерия в рабочую ячейку исходный газ пропускали через орто-пара-конвертор, содержащий катализатор  $\text{Fe}(\text{OH})_3$ . Измерения при низких температурах проводились в течение длительного времени (2–3 недели). Можно полагать, что приводимые результаты относятся к кристаллам ортодейтерия состава близкого к равновесному (2% парамолекул при 20 К) [3].

Как показали результаты экспериментов, полевые зависимости скорости дрейфа зарядов  $v$  от приложенного напряжения  $U$  оказались близки к линейным для зарядов обоих знаков в диапазоне  $U = 300 \div 1000$  В. Линейная зависимость скорости  $v$  от ускоряющего поля  $E \approx U/L$  в полях  $E = 1,5 \cdot 10^4 \div 5 \cdot 10^5$  В/см позволяет ввести понятие подвижности зарядов  $\mu = v/E$  и далее, воспользовавшись соотношением Эйнштейна, определить коэффициент диффузии зарядов:

$$D = \mu \frac{kT}{e} \quad \text{или} \quad D = v \frac{L}{U} \frac{kT}{e}.$$

Зависимости коэффициента диффузии от обратной температуры для одного из типичных образцов (№24) приведены на рисунке в логарифмическом масштабе. Темные кружки относятся к положительным зарядам, светлые кружки – к отрицательным. Сплошные линии, проведенные через экспериментальные точки, соответствуют зависимостям  $D = D_0 \exp(-\Delta/T)$ . На рисунке также показаны известные из литературы температурные зависимости коэффициента самодиффузии  $D_s(T)$ . Штрих-пунктирная линия 1 соответствует оценкам  $D_s$ , по результатам ЯМР измерений [4] поперечного времени релаксации. Штриховая прямая 2 соответствует результатам ЯМР измерений продольного времени релаксации в работе [5]. Точечная линия 3 описывает поведение коэффициента самодиффузии в твердом дейтерии по данным теоретического расчета [6], в предположении, что самодиффузия контролируется взаимодействием молекул с вакансиями.



Зависимость коэффициента диффузии зарядов от обратной температуры. Справа указана величина произведения  $\mu \cdot T$ . Образец №24, давление затвердевания  $P_s = 7$ , батм. Обозначения: ● – положительные заряды, ○ – отрицательные заряды. Зависимость  $D_s(T)$ : прямая 1 – по данным ЯМР измерений [4], 2 – по данным ЯМР измерений [5], 3 – теория [6]

Из рисунка видно, что во всем интервале температур экспериментальные зависимости  $D_{\pm}(T)$  близки к экспоненциальным, при этом коэффициент диффузии положительных зарядов в несколько раз превышает коэффициент диффузии отрицательных,  $D_+ > D_-$ . Энергия активации диффузии  $\Delta$ , определяемая по наклону прямых, проведенных через экспериментальные точки на рисунке, составляет  $\Delta_- = 480 \pm 10$  К для отрицательных зарядов и  $\Delta_+ = 340 \pm 15$  К для положительных, что близко к энергии активации самодиффузии  $\Delta_s$  молекул ( $\sim 306$  К по данным [4],  $\sim 276$  К по данным [5],  $\sim 290$  К из расчета [6]). Следует отметить, что от образца к образцу значения коэффициента диффузии  $D$  и энергии активации диффузии  $\Delta$  зарядов одного и того же знака могли различаться. Например, расчетные значения  $\Delta_-$  в 7 различных образцах колебались в пределах  $450 \div 550$  К. Энергии активации положительных зарядов  $\Delta_+$ , измеренные на двух образцах, оказались равными 320 и 340 К. Вариации в величинах и температурных зависимостях  $D(T)$  от образца к образцу естественно объясняются сильной анизотропией свойств ГПУ кристаллов.

Обсудим результаты измерений.

Различия в величинах и температурных зависимостях коэффициентов диффузии  $D_-(T)$  и  $D_+(T)$  в одном и том же образце указывают на существенную разницу во внутреннем строении заряженных дефектов разных знаков. Как и в водороде, можно полагать, что отрицательный заряд в твердом дейтерии – это электрон, локализованный в пузырьке атомных размеров, а положительный заряд – кластер (снежный шарик), состоящий из положительно заряженного молекулярного иона и слоя окружающих его нейтральных молекул (строение зарядов в твердом дейтерии обсуждается также в работе [7]).

Из результатов ЯМР измерений [4,5] и теоретических расчетов [6] следует, что в твердом дейтерии (как и в водороде) основной механизм самодиффузии молекул – вакансационный. Поскольку в наших экспериментах энергии активации диффузии положительных зарядов  $\Delta_+$  оказались близкими к энергии активации самодиффузии молекул  $\Delta_s$ , можно предположить, что движение положительных зарядов контролируется тем же механизмом – взаимодействием заряженных дефектов с тепловыми вакансиями. При качественном описании движения пробной микрочастицы атомных размеров (вязко-упругое течение кристалла вокруг дефекта [8]) можно записать:

$$D_i \propto x'_v D_v \omega_v / \omega_i, \quad (1)$$

где  $D_i$  – коэффициент диффузии и  $\omega_i$  – объем пробной частицы (дефекта),  $x'_v$  – концентрация вакансий вблизи дефекта,  $D_v$  – коэффициент диффузии,  $\omega_v$  – удельный объем вакансии.

Если положительный заряд представляет собой кластер размером в несколько постоянных решетки, его объем много больше объема вакансии:  $\omega_+ \gg \omega_v$ . Поэтому следовало бы ожидать, что коэффициент диффузии положительных зарядов  $D_+$  должен быть на один–два порядка меньше коэффициента самодиффузии  $D_+ \ll D_s$  [9]. Однако сравнение значений  $D_+$  с оценками  $D_s$  по данным ЯМР показывает, что  $D_+ \geq D_s$ , найденным по результатам измерений [4], и на порядок превосходит значения  $D_s$  в работе [5]. При объяснении этого факта следует учитывать, что, во-первых, концентрация вакансий  $x'_v$  вблизи положительно заряженного дефекта может существенно превышать равновесную концентрацию  $x_v$ , и, во-вторых, что входящее в выражение (1)

эффективное значение коэффициента диффузии вакансий  $D_v$  в анизотропном кристалле зависит от методики наблюдений. В ЯМР измерениях [4,5] фигурирует некоторый усредненный по разным кристаллографическим направлениям коэффициент диффузии молекул  $D_s$  (и, соответственно,  $D_v$ ), а в экспериментах с зарядами определяется подвижность и, соответственно, коэффициент диффузии  $D_+$  вдоль некоторого выделенного направления (вдоль поля  $E$ ). Поскольку измерения подвижности проводились на "лучших" образцах, пригодимые значения  $D_+$  могут соответствовать максимальной подвижности, то есть максимальным значениям компонент тензора  $D_v$  в анизотропном ГПУ кристалле.

Интересно отметить, что в ГПУ кристаллах параводорода в отличие отдейтерия наблюдается иное соотношение коэффициентов диффузии и энергий активации зарядов разных знаков, а именно [10]:  $D_+ \ll D_s \leq D_-$ , соответственно,  $\Delta_+ > \Delta_- \approx \Delta_s$ . В то же время, в кристаллах, выращенных из нормального водорода (75% ортомолекул), как и вдейтерии,  $D_- < D_+$ ,  $\Delta_- > \Delta_+$ . Отсюда можно сделать вывод, что при обсуждении механизмов движения зарядов в кристаллах  $D_2$  и  $H_2$  необходимо учитывать не только внутреннее строение дефекта и характер взаимодействия зарядов с тепловыми вакансиями, но и особенности взаимодействия заряда с молекулами разного типа.

Таким образом, в работе измерены коэффициенты диффузии положительных и отрицательных зарядов (заряженных дефектов) в твердомдейтерии. Результаты экспериментов позволяют сделать предположение о вакансационном механизме движения положительных зарядов вдейтерии. Сравнение коэффициентов диффузии (самодиффузии) и энергий активации зарядов и молекул в кристаллах  $D_2$  и  $H_2$  одинаковой кристаллической структуры указывает, что коэффициент диффузии зарядов в квантовых кристаллах определяется внутренним строением заряженных дефектов и особенностями взаимодействия зарядов с ближайшим окружением в кристаллической матрице. Авторы благодарны В.Н.Хлопинскому за помощь в проведении экспериментов. Исследования выполнены при поддержке ISF, грант REK-300.

1. А.А.Левченко, Л.П.Межов-Деглин, ЖЭТФ **98**, 349 (1990).
2. А.А.Левченко, Л.П.Межов-Деглин, Письма в ЖЭТФ **54**, 238 (1991).
3. Свойства конденсированных фаз водорода и кислорода, Справочник, Киев: Наук. думка, 1984.
4. R.Wang, M.Smith, and D.White, J. Chem. Phys. **55**, 2661 (1971).
5. F.Weinhaus, H.Meyer, S.M.Myers et al., Phys. Rev. **B7**, 2960 (1973).
6. C.Ebner and C.C.Sung, Phys. Rev. **A5**, 2625 (1972).
7. R.L.Brooks, S.K.Bose, J.L.Hunt et al., Phys. Rev. **B32**, 2478 (1985).
8. В.Б.Шикин, УФН **121**, 457 (1977).
9. В.П.Минеев, Письма в ЖЭТФ **17**, 161 (1973).
10. А.А.Левченко, Л.П.Межов-Деглин, ФНТ **17**, 437 (1991).